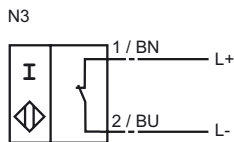
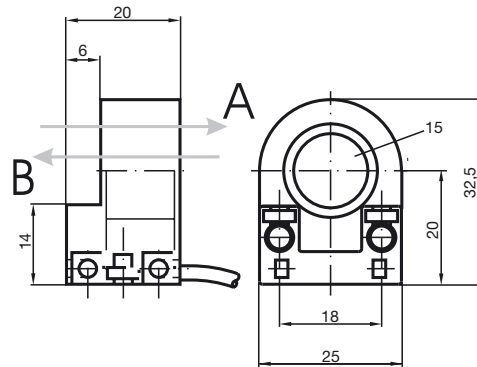




CE

**Bestellbezeichnung**

RC15-14-N3-Y29927

**Anschluss****Abmessungen****Technische Daten****Allgemeine Daten**

|                         |                         |
|-------------------------|-------------------------|
| Schaltelementfunktion   |                         |
| Einbau                  |                         |
| Überfahrgeschwindigkeit | $v \leq 10 \text{ m/s}$ |

**Kenndaten**

|                               |       |                             |
|-------------------------------|-------|-----------------------------|
| Betriebsspannung              | $U_B$ | 5 ... 25 V                  |
| Hysterese                     | H     | typ. 1 %                    |
| Verpolschutz                  |       | verpolgeschützt             |
| Stromaufnahme                 |       |                             |
| Durchfahrt B $U_B=8\text{V}$  |       | $\geq 3 \text{ mA}$         |
| Durchfahrt B $U_B=10\text{V}$ |       | $\geq 4,2 \text{ mA}$       |
| Durchfahrt A $U_B=10\text{V}$ |       | 0,5 ... 1 mA typ. 0,9 mA    |
| Durchfahrt A $U_B=8\text{V}$  |       | 0,5 ... 0,95 mA typ. 0,8 mA |

**Normenkonformität**

|        |                          |
|--------|--------------------------|
| Normen | DIN EN 60947-5-6 (NAMUR) |
|--------|--------------------------|

**Umgebungsbedingungen**

|                     |                                 |
|---------------------|---------------------------------|
| Umgebungstemperatur | -20 ... 65 °C (-4 ... 149 °F)   |
| Lagertemperatur     | -40 ... 100 °C (-40 ... 212 °F) |

**Mechanische Daten**

|                 |                      |
|-----------------|----------------------|
| Aderquerschnitt | 0,14 mm <sup>2</sup> |
| Gehäusematerial | PBT/PPS              |
| Schutzart       | IP67                 |



## ATEX

Daten für den Ex-Bereich

|                              |       |                               |
|------------------------------|-------|-------------------------------|
| Wirksame innere Kapazität    | $C_i$ | $\leq 90 \text{ nF}$          |
| Wirksame innere Induktivität | $L_i$ | $\leq 70 \text{ }\mu\text{H}$ |

Veröffentlichungsdatum: 2012-05-04 09:24    Ausgabedatum: 2012-05-04    029927\_ger.xml